

矿石物理分析

内部资料

《矿石物理分析》编辑组

矿石物理分析

• 内部资料 •

《矿石物理分析》编辑组

内 容 简 介

本资料比较全面地介绍了矿石样品中铀、镭、钍和射气系数的放射性分析方法以及有关资料、数据，共分分析方法、常用探测器、核物理仪器晶体管电路基础、误差和附录五部分，可供从事放射性测量工作的人员参考，对于放射性物探和安全防护工作人员，亦有一定的参考价值。

矿石物理分析

• 内 部 资 料 •

《矿石物理分析》编辑组

1972年3月

毛主席语录

思想上政治上的路线正确与否是决定一切的。

鼓足干劲，力争上游，多快好省地建设社会主义。

抓革命，促生产，促工作，促战备。

中国人民有志气，有能力，一定要在不远的将来，赶上和超过世界先进水平。

前　　言

在毛主席革命路线指引下，我国地质事业的飞速发展，促使天然放射性元素分析方法和测量技术日益完善与提高，并不断向它提出更高的要求。遵照毛主席关于“要认真总结经验”的教导，试将我室十几年来在矿石放射性分析方面的办法和体会做一总结，编成本资料，以便更好地适应事业发展的需要和与兄弟单位交流经验。

放射性测量技术通常包括测量方法、探测装置和数据处理三部分，本资料主要是按这三方面内容编写而成。编写中我们侧重于以下三点：

1. 所总结的分析方法，均系经过我们实验或用于生产实际，特别是对 $\beta-\gamma$ 法测铀、射气电离法测镭、 γ 计数法测镭和 γ 能谱测量的测量条件，进行了较系统的试验和研究，在此，我们对方法的运用及干扰因素等做了详细的介绍和讨论。
2. 对于室内几种常用探测器，着重介绍它们的性能和工作条件的选择。目前有关资料多为介绍国外的产品，因此本资料的编写以介绍国内生产的各种探测器为主。
3. 为便于工作，我们将分析工作中常用的一些分散数据蒐集一起，整理编成附录，以备查考。

由于我们水平低，实践经验少，编写仓促，因此难免存在错误缺点，请同志们提出批评指正，以便我们进一步学习和改进。

编　　者

一九七三年三月

目 录

第一章 β - γ 法测铀

§ 1.1 方法原理	(1)
§ 1.2 测量工作	(3)
1. 仪器设备	(3)
2. 测量前的准备工作	(4)
3. 测量步骤	(6)
§ 1.3 若干干扰因素	(8)
1. 低含量样品测量	(8)
2. 高含量样品测量	(8)
3. 镅的干扰	(9)
4. 偏镭样品的测量精度	(10)
5. RaE 和 K^{40} 的干扰	(11)
6. 钍气系数和镭气积累的干扰	(12)
7. 几何条件的影响	(13)
8. 样品颗粒度的影响	(13)
9. 装填密度的影响	(14)
10. 化学成分的影响	(15)
11. γ 一致性的影响	(19)
§ 1.4 有关装置系数 l 的讨论	(21)
1. l 的物理意义	(21)
2. 平衡标准源的有效平衡状态与 l 的关系	(22)
3. 标准源铀含量的误差对 l 和样品测量结果的影响	(23)
4. 装置的 γ 一致性与 l 的关系	(26)

第二章 γ 计数法测镭

§ 2.1 方法原理	(27)
§ 2.2 测量工作	(28)
1. 仪器设备	(28)
2. 测量步骤	(29)
§ 2.3 若干干扰因素	(31)

1. 对测量精度的考虑	(31)
2. 干扰元素的影响及修正	(33)
3. 样品装填密度对测量结果的影响	(34)
4. 比色瓶内样品的装填高度对结果的影响	(34)
5. 封闭材料石蜡对氡气的吸附情况	(34)

第三章 α 计数法测镭

§ 3.1 方法原理	(36)
§ 3.2 硫酸钡(镭)测量源的制备	(36)
§ 3.3 测量工作	(37)
1. 仪器设备	(37)
2. 测量步骤	(38)
§ 3.4 若干干扰因素与讨论	(40)
1. 几何条件的控制	(40)
2. 氡的积累对测量结果的影响	(41)
3. 源的纯度	(41)
4. Ra^{224} 的干扰	(41)
5. Ra^{228} 的干扰	(42)
6. 对制作“薄层”源的考虑	(43)

第四章 射气电离法测镭

§ 4.1 样品的化学处理	(45)
1. 过氧化钠熔矿—EDTA 络合制备镭溶液	(45)
2. 过氧化钠、碳酸钠熔矿—盐酸溶解制备镭(钍)溶液	(47)
§ 4.2 测量工作	(48)
1. 基本原理	(48)
2. 仪器设备	(49)
3. 测量前的准备工作	(49)
4. 测量步骤	(50)
5. 注意事项	(52)
§ 4.3 若干干扰因素	(52)
1. 静电计格值随天气的变化	(53)
2. 氡引入电离室后电离电流随时间的变化	(54)
3. 静电计灵敏度对测量的影响	(54)
4. 橡皮管对氡气的吸附和渗透	(55)
5. 静电计漏电对测量的影响	(57)
6. 氡在溶液中的溶解度	(57)

§ 4.4 静电计漏电时电离电流的测定	(58)
1. 工作原理	(58)
2. 具体工作方法	(60)

第五章 射气闪烁法制镭

§ 5.1 方法原理	(63)
§ 5.2 熔解矿样	(63)
§ 5.3 测量工作	(63)
1. 仪器设备	(63)
2. 测量前的准备工作	(64)
3. 测量步骤	(64)
§ 5.4 注意事项与讨论	(65)
1. 适应范围	(65)
2. 测量条件的控制	(65)
3. 装置系数的校正	(65)
4. 空白校正	(65)

第六章 射气系数的测定

§ 6.1 射气系数	(66)
§ 6.2 γ 计数法测定射气系数	(67)
1. 测量方法	(67)
2. 测量精度	(67)
§ 6.3 射气法测定射气系数	(68)
1. 方法原理	(68)
2. 仪器设备和测量方法	(69)

第七章 射气闪烁法测钍

§ 7.1 方法原理	(71)
§ 7.2 样品的化学处理	(71)
§ 7.3 测量工作	(71)
1. 仪器设备	(71)
2. 测量前的准备工作	(72)
3. 测量步骤	(73)
附：静电计定性测钍	(74)

第八章 β 计数法测铀

§ 8.1 方法原理	(76)
§ 8.2 制备 β 测量源	(77)
§ 8.3 测量工作	(78)
1. 仪器设备	(78)
2. 系数和样品的测量	(78)
§ 8.4 若干干扰因素与讨论	(79)
1. 测量灵敏度	(79)
2. 铀含量适应范围	(79)
3. UX_1 的萃取率与 $HDBP$ 浓度的关系	(80)
4. UX_1 的萃取率与萃取温度的关系	(80)
5. 干扰元素	(80)

第九章 $\beta-\gamma$ 能谱法测铀、镭、钍

§ 9.1 $\beta-\gamma$ 能谱法测量原理	(85)
§ 9.2 测量工作	(85)
1. 仪器设备	(86)
2. 测量前的准备工作	(86)
3. 底数和 β 、 γ 射线强度的测量	(88)
4. 系数的测量	(89)
5. 样品的测量	(89)
§ 9.3 若干干扰因素	(90)
1. 钍射气的影响	(90)
2. 样品的密封	(90)
3. 铀—镭平衡破坏严重的样品中低含量钍测量结果的修正	(91)
4. β 吸收屏对 γ 能谱测量的影响	(91)
5. 补偿源 Pu^{239} 对计数管测量底数的影响	(93)
6. γ 谱仪的稳定性对测量结果的影响	(94)
7. 干扰讯号的影响	(95)
§ 9.4 自动稳定装置的工作原理	(96)

第十章 电离室

§ 10.1 气体的电离	(98)
§ 10.2 电离室的结构和使用	(99)
§ 10.3 电流电离室的性能	(103)

1. 电离室内气压对电离电流的影响.....	(104)
2. 电离室室壳电压对电离电流的影响.....	(104)
3. 气体成分对电离电流的影响.....	(105)

第十一章 盖革—弥勒计数管

§ 11.1 工作原理	(106)
§ 11.2 盖革—弥勒计数管的种类和特性	(106)
§ 11.3 计数管的坪曲线	(108)
§ 11.4 计数管的输出电路	(109)
1. 输出电路的四种基本形式.....	(109)
2. RC 电路对输出特性的影响.....	(110)
3. 计数管的并联使用.....	(110)

第十二章 闪烁计数器

§ 12.1 闪烁体	(113)
1. 无机闪烁体.....	(113)
2. 有机闪烁体.....	(114)
§ 12.2 光电倍增管	(119)
1. 光电倍增管的结构.....	(119)
2. 光电倍增管的种类.....	(120)
3. 光电倍增管的主要参量.....	(121)
4. 阳极饱和特性.....	(124)
§ 12.3 闪烁计数器的特性	(124)
1. α 、 β 、 γ 射线的探测.....	(124)
2. 能量分辨本领.....	(127)
3. 时间分辨本领.....	(128)

第十三章 半导体计数器

§ 13.1 工作原理	(129)
§ 13.2 半导体计数器的种类和结构	(130)
1. 金硅面垒型.....	(130)
2. $p-i-n$ 型.....	(130)
§ 13.3 半导体计数器的性能	(132)
1. 伏安特性.....	(132)
2. 灵敏区厚度和电容.....	(133)
3. 噪声.....	(133)

4. 脉冲的形成.....	(134)
5. 能量分辨率和能量线性.....	(136)
§ 13.4 半导体计数器的应用	(136)
1. 测 α 射线.....	(136)
2. 测 β 射线.....	(137)
3. 测 γ 射线.....	(137)

第十四章 探测装置的分辨时间对计数的影响

§ 14.1 分辨时间的物理意义	(139)
§ 14.2 分辨时间对计数的影响及漏计的修正	(139)
§ 14.3 漏计对测量精度的影响	(141)
§ 14.4 分辨时间的测定	(142)
1. 用双脉冲发生器测电子记录系统的分辨时间.....	(142)
2. 用示波器观看探测器的分辨时间.....	(143)
3. 用双源法测定整个系统的分辨时间.....	(143)
§ 14.5 影响分辨时间的因素	(144)
§ 14.6 结论	(145)

第十五章 晶体管电路基础

§ 15.1 单管放大	(146)
1. 基本电路.....	(146)
2. 静态工作图解.....	(146)
3. 动态工作情况.....	(148)
4. 输入输出波形的相位关系.....	(148)
5. 稳定直流偏置电路.....	(148)
§ 15.2 发射极跟随器	(149)
1. 典型的发射极跟随器.....	(149)
2. 提高输入电阻的另一种电路——自举技术的应用.....	(150)
3. 互补发射极跟随器.....	(151)
§ 15.3 差值放大器	(151)
1. 工作原理.....	(151)
2. 实际电路.....	(152)
§ 15.4 脉冲放大器	(153)
1. 级间负反馈.....	(153)
2. C_4 对脉冲前沿的高频寄生振荡的消除作用.....	(154)
3. 电路对脉冲后沿改善的考虑.....	(154)
§ 15.5 电荷灵敏放大器	(155)

1. 电路原理.....	(155)
2. 实际电路分析.....	(155)
3. 采用特殊元件的放大器.....	(157)
§ 15.6 自激多谐振荡器	(157)
1. 用途.....	(157)
2. 实用电路.....	(158)
§ 15.7 单稳态多谐振荡器	(159)
§ 15.8 双稳态多谐振荡器	(160)
1. 工作原理.....	(160)
2. 对电路元件参数的要求.....	(161)
3. 自偏压双稳态电路.....	(161)
4. 加速电容的应用.....	(162)
5. 对触发的讨论.....	(163)
6. 实际电路.....	(163)
§ 15.9 十进位计数电路	(164)
1. 环状联接电路.....	(164)
2. 反馈联接电路.....	(164)
3. 实际的 2×5 电路.....	(167)
§ 15.10 电源.....	(169)
1. 倍压电路.....	(169)
2. 直流稳压电路.....	(170)
3. 串联型负反馈稳压电源.....	(171)

第十六章 放射性测量的误差问题

§ 16.1 偶然误差的性质和表达方式	(174)
1. 偶然误差的分布定律.....	(174)
2. 偶然误差的表示方法.....	(175)
3. 间接测量的误差传递.....	(176)
§ 16.2 放射性测量的统计性误差	(179)
1. 统计性误差的性质.....	(179)
2. 计数率的误差.....	(182)
3. 本底的影响.....	(183)
4. 平均效应的统计性质.....	(184)
§ 16.3 探测装置性能的检查	(186)
§ 16.4 可疑测量值的舍弃	(189)
§ 16.5 测量值和实验结果的精密度表示	(190)
§ 16.6 系统误差的几种常用检查方法	(191)

附录

附录一	常用物理常数.....	(195)
附录二	$\beta-\gamma$ 法测铀密度修正表.....	(197)
附录三	氡的 $\frac{1}{1-e^{-\lambda t}}$ 函数表.....	(199)
附录四	氡的 $1-e^{-\lambda t}$ 函数表.....	(202)
附录五	几种常用电容电阻型号名称对照表.....	(203)
附录六	固定电阻的色标(圆环式).....	(204)
附录七	瓷介电容器的温度系数与色标的关系.....	(205)
附录八	β 粒子的最大射程.....	(206)
附录九	β 粒子在铝中的半衰减厚度.....	(207)
附录十	几种物质的密度.....	(207)
附录十一	γ 射线的质量衰减系数.....	(208)
附录十二	几种材料对窄束 γ 射线的线性衰减系数 (cm^{-1})	(211)
附录十三	不同能量的宽束 γ 射线在不同的衰减倍数 K 时铅的厚度(cm) ($\rho_{铅} = 11.34g/cm^3$)	(212)
附录十四	一些常用同位素的 K_{γ} 值和克镭当量值.....	(214)
附录十五	火成岩中元素的丰度.....	(215)
附录十六	电子由 L 壳层填充到 K 壳层空位所发射特征 X 射线 (K_{α} —射 线) 的能量 (KeV)	(216)
附录十七	$4Z$ 系放射性产物衰变表.....	(211)
附录十八	$4Z + 2$ 系短寿命放射性产物衰变表.....	(218)
附录十九	$4Z + 2$ 系长寿命放射性产物衰变表.....	(219)
附录二十	天然放射性元素衰变图表.....	(220)
附录二十一	常用人工放射性同位素衰变图表.....	(227)
附录二十二	铀系射线谱.....	(229)
附录二十三	钍系射线谱.....	(230)
附录二十四	锕铀系射线谱.....	(231)
附录二十五	放射性元素衰变图.....	(232)
附录二十六	铀—镭系衰变图.....	(233)
附录二十七	钍系衰变图.....	(234)
附录二十八	锕铀系衰变图.....	(235)
附录二十九	化学元素周期表.....	(附页)
参考资料	(236)

第一章 β - γ 法测铀

§ 1.1 方法原理

放射性元素的放射性测量，是以射线强度与其含量成正比这一基本特性为依据的， β - γ 法测铀亦然，它是通过比较样品和标准源的放射性强度，来测定样品中的铀含量。

在铀系元素中，主要的 β 辐射体有 UX_2 、 RaC 和 RaE ， γ 辐射体主要有 UX_2 、 RaB 和 RaC 。 RaE 的 β 射线能量较低。 UX_2 通过 UX_1 与铀处于平衡， RaB 和 RaC 与氡处于平衡。因此，往往忽略 RaE 的影响，而只把该系元素分为铀和镭（氡）两组。

当矿样这两组的平衡状态与所使用的标准源相同时，只需单独比较它们的 $(\beta + \gamma)$ 或 γ 射线的强度即可求得样品的铀含量。但往往样品中铀—镭（氡）不一定处于平衡状态，而其平衡破坏程度也不尽一致，因此，必须用 β - γ 法分别测定 β 和 γ 射线的强度以确定样品的铀含量。测得的射线强度与放射性元素之间的关系用下式表示：

$$\begin{cases} I_{\text{样}}^{\beta} = a_1 U + b_1 Ra \\ I_{\text{样}}^{\gamma} / P_{\text{样}} = a_2 U + b_2 Ra \end{cases} \quad (1.1)$$

式中： $I_{\text{样}}^{\beta}$ 、 $I_{\text{样}}^{\gamma}$ 分别为样品的 β 和 γ 射线强度（脉冲/分）；

$P_{\text{样}}$ 为样品的称量；

U 、 Ra 分别为样品中铀和 $Ra(B+C)$ 的含量；

a_1 、 b_1 分别为单位含量的铀和 $Ra(B+C)$ 产生的 β 射线强度；

a_2 、 b_2 分别为单位含量、单位重量的铀和 $Ra(B+C)$ 产生的 γ 射线强度。

实际工作中，通常用 β 和 γ 当量含量来求铀含量，当量含量与真含量的关系式为：

$$\begin{cases} Q_{\beta} = aU + bRa \\ Q_{\gamma} = mU + nRa \end{cases} \quad (1.2)$$

式中： $a = \frac{a_1}{a_1 + b_1}$ ， $b = \frac{b_1}{a_1 + b_1}$ ， $a + b = 1$ ；

$$m = \frac{a_2}{a_2 + b_2}， n = \frac{b_2}{a_2 + b_2}， m + n = 1$$

系数 a 的含义为：铀—镭平衡时，铀组产生的 β 射线强度对铀—镭系产生的总 β 射线强度的比值。所以系数 a 通常又称为 β 测量时纯铀的平衡铀当量。同样，系数 b 又称为 β 测量时 $Ra(B+C)$ 的平衡铀当量。

系数 m 的含义为：铀—镭平衡时，铀组产生的 γ 强度对铀—镭系产生的总 γ 强度的比值，或称为 γ 测量时纯铀的平衡铀当量。同样， n 为 γ 测量时， $Ra(B+C)$ 的平衡铀当量。

Q_β 称为 β 当量含量; Q_γ 称为 γ 当量含量。它们可以通过与 $U-R\alpha$ 平衡标准源相对测量而得出:

$$\left\{ \begin{array}{l} Q_\beta = \frac{Q_{\text{标}}}{I_{\text{标}}^\beta} \cdot I_{\text{样}}^\beta = K_\beta \cdot I_{\text{样}}^\beta \\ Q_\gamma = \frac{Q_{\text{标}}}{I_{\text{标}}^\gamma} \cdot P_{\text{标}} \cdot \frac{I_{\text{样}}^\gamma}{P_{\text{样}}} = K_\gamma \cdot \frac{I_{\text{样}}^\gamma}{P_{\text{样}}} \end{array} \right. \quad (1.3)$$

$$\left\{ \begin{array}{l} K_\beta = \frac{Q_{\text{标}}}{I_{\text{标}}^\beta} \\ K_\gamma = \frac{Q_{\text{标}}}{I_{\text{标}}^\gamma} \cdot P_{\text{标}} \end{array} \right. \quad (1.4)$$

式中: $I_{\text{标}}^\beta$ 、 $I_{\text{样}}^\beta$ 分别为对平衡标准源和样品所测得的 β 射线强度;

$I_{\text{标}}^\gamma$ 、 $I_{\text{样}}^\gamma$ 分别为对平衡标准源和样品所测得的 γ 射线强度;

$P_{\text{标}}$ 、 $P_{\text{样}}$ 分别为平衡标准源和样品的称量;

$Q_{\text{标}}$ 为平衡标准源的铀含量。

K_β 、 K_γ 分别为与单位 β 和 γ 计数率相当的平衡铀含量。对同一测量装置, 当测量条件(仪器, 计数管、屏、平衡标准源, 测量几何条件等) 不变时, K_β 和 K_γ 应当是常数。

解方程组 (1.2) 可得出计算铀含量的公式:

$$U = \frac{n}{n-b} Q_\beta - \frac{b}{n-b} Q_\gamma \quad (1.5)$$

令 $l = \frac{b}{n-b}$ 则 (1.5) 式可写成:

$$U = (1+l) Q_\beta - l Q_\gamma = Q_\beta + l(Q_\beta - Q_\gamma) \quad (1.6)$$

这就是我们常用的计算铀含量的公式。

$\beta-\gamma$ 法测铀的探测器可以使用计数管、闪烁计数器或半导体探测器等探测装置。本章主要是介绍和讨论盖革—弥勒计数管 ($G-M$ 计数管) 计数装置的测量方法。

系数 l 称为装置系数, 其数值主要取决于计数管类型, 屏的材料和面密度以及平衡标准源的平衡状况。可用一个已知含量的纯铀或纯镭源和平衡标准源由 (1.6) 式逆推来测定:

$$l = \frac{U - Q_\beta}{Q_\beta - Q_\gamma} \quad (1.7)$$

式中: Q_β 、 Q_γ 由 (1.3) 式得出;

U 为纯铀源的铀含量, 如果使用纯镭源, 则 U 等于零。

表 1.1 是我们用 $J_{106}\gamma$ 和 $J_{206}\gamma$ 计数装置测得的上述各系数值, 它与麦日博尔斯卡娅等人⁽⁸⁾ 给出的数值(表 1.2) 相近。

表 1.1

装 置	计数管型号	屏 厚 度 (铝)	γ -效性	测 得 系 数 值				
				a	b	m	n	ℓ
1	$J_{206\gamma}$	6mm	13%	0.54	0.46	0.11	0.89	1.08
2	$J_{106\gamma}$	5.5mm	14%	0.53	0.47	0.06	0.94	1.00

表 1.2

计数管型号	a	b	m	n	ℓ
MC-4	0.48—0.52	0.52—0.48	0.05—0.06	0.95—0.94	1.12
CTC-6	0.47—0.50	0.53—0.50	0.03—0.05	0.97—0.95	1.18
BC-4	0.49—0.52	0.51—0.48	0.08—0.09	0.92—0.91	1.18

采用 $J_{106\gamma}$ 或 $J_{206\gamma}$ 等类型计数管作为 $\beta-\gamma$ 法的计数装置时，它们将同时记录 β 射线和 γ 射线。因此，对于探测 γ 射线的计数管组（装在样品下面，称为下排计数管）必须附加面密度足够大的 β 射线吸收屏，以吸收全部 β 射线。对于探测 β 射线的计数管组（上排计数管），则需从测得的 $\beta+\gamma$ 计数率中减去下排计数管组的计数率以扣除 γ 射线部分的计数率。因为：

$$\left\{ \begin{array}{l} I^{\text{上}} = I^{\beta+\gamma} + I^{\beta}_{\text{底}} \\ I^{\text{下}} = I^{\gamma} + I^{\gamma}_{\text{底}} \end{array} \right. \quad (1.8)$$

所以：
$$\left\{ \begin{array}{l} I^{\gamma} = I^{\text{下}} - I^{\text{底}} \\ I^{\beta} = (I^{\text{上}} - I^{\text{下}}) - (I^{\beta}_{\text{底}} - I^{\gamma}_{\text{底}}) \end{array} \right. \quad (1.9)$$

式中： $I^{\text{上}}$ 、 $I^{\text{下}}$ 分别为上、下排计数管同时对 β 和 γ 射线测得的计数率；

$I^{\beta}_{\text{底}}$ 、 $I^{\gamma}_{\text{底}}$ 分别为上、下排计数管的底数；

I^{β} 、 I^{γ} 分别为被测对象的 β 和 γ 射线强度。上述各量均以（脉冲/分）表示。

§ 1.2 测量工作

1 仪器设备

1) 铅室和计数装置 为了减少宇宙射线源对测量的影响，提高测量的精确度，计数装置放在壁厚不小于 40 毫米的铅室内。为防止散射影响铅室内壁装一层面密度为 1.0 克/平方厘米左右的有机玻璃或铝板。铅室内腔尺寸一般为 $35 \times 20 \times 13$ 立方厘米。

计数管支架用有机玻璃制成。支架中部装一块置放样品盘的铝质活动托板，其厚度和样品盘底的厚度之和应为 $1.3 \sim 1.5$ 克/厘米²，即 5 ~ 6 毫米。在托板上方和下方各并联安装 4 支计数管，样品的上表面至两排计数管的中心，距离为 4 厘米左右。上排计数管的位置固

定，下排计数管的位置可以调节（图1.1）。

有的资料⁽¹⁾认为最好在每支计数管的正极端，分别串接一RC电路，电阻值一般用3~5 MΩ，电容值用30~50 pF，电阻电容为并联接法。实验证明，用J₁₀₆γ型计数管，串接阻容电路后，探测装置的性能变坏（详见§11.4），因此计数管装置最好采用图11.3(a)或图11.3(b)的输出电路。

2) 样品盘及其他设备 必须备有两套铝质样品盘；规格分别为200×100×10毫米³和100×50×10毫米³。前者用来测量铀含量小于0.5%的样品，后者用来测量铀含量大于0.5%的样品。样品盘的几何条件和厚薄应一致。对大盘来说，要求高度误差小于±0.25毫米，重差小于正负3克。小样品盘的要求更严。

此外，工作室还需备有称差±0.2克的天平一台，和有机玻璃板、搅拌铲、毛刷等装样工具。

2 测量前的准备工作

1) 定标器检查 工作前须对定标器主要性能作简单检查，一般是记录仪器本身的检查讯号，观察其工作情况和计数是否正常。

2) 计数管选择 使用计数管之前，必须测定其特性曲线，确定坪长、坪斜和工作电压，并检查其稳定性能。方法如下：

事先选好对单个计数管能够产生2000~3000脉冲/分的射气系数小的样品，置于计数装置内。将待测的计数管装入计数装置开启仪器至正常后，逐渐升高计数管的工作电压，进行测量，从开始计数时起，每隔50伏测量一次，直至读数达到显著地上升为止。每次测量取两个读数，每个读数2分钟。二个读数之差要求小于或等于 $2\sqrt{N}$

(N为两分钟的平均计数量)。

如超过此值则取第三次读数，然后取在允许范围内读数的平均值。

将测量结果绘成曲线（图1.2）。曲线图之 V_0 为起始电压， $V_2 - V_1$ 为坪长，坪斜按下式计算：

$$\text{坪斜} = \frac{(N_2 - N_1) \cdot 100}{N_1 \cdot (V_2 - V_1)}$$

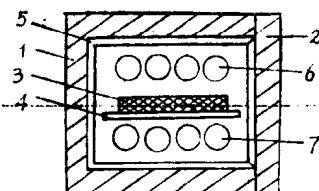


图 1.1 计数装置示意图

1. 铅室；2. 铅室活门；3. 样品；
4. 托板；5. 防散射有机玻璃；
6. 上排计数管；7. 下排计数管。

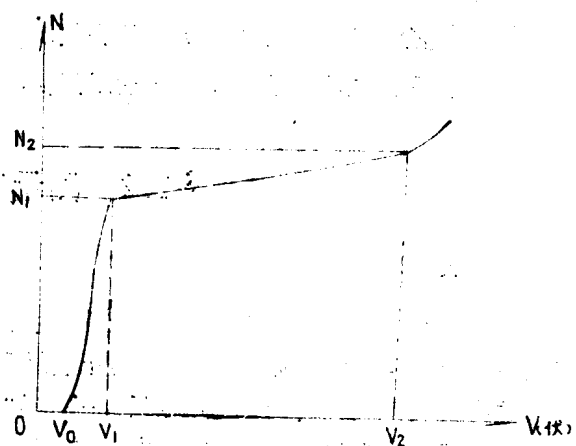


图 1.2 计数管计数率—电压曲线

• 100% • 100伏